

CHAPITRE : 01

BOBINE A NOYAU DE FER**Contenu :**

1°-Rappels.....	3
1°.1-Electromagnétisme.....	3
1°.2-Représentation de Fresnel.....	4
2°-Constitution.....	5
3°-Etude de fonctionnement.....	5
3°.1-Equations électriques.....	6
3°.2-Forme d'onde du courant absorbé.....	7
3°.3-Pertes fer d'un circuit magnétique.....	8
3°.3.1-Pertes par Hystérésis.....	8
3°.3.2-Pertes par courant de Foucault.....	8
3°.3.3-Pertes totales.....	8
3°.3.4-Relation de Boucherot.....	9
3°.5-Schéma équivalent et diagramme vectoriel.....	10

La bobine à noyau de fer

1°-Rappels

1°.1-Electromagnétisme

- Circuit magnétique

C'est un ensemble de milieux comprenant principalement des substances ferromagnétiques (des alliages de fer, de nickel et de cobalt) canalisant les lignes de champ magnétique.

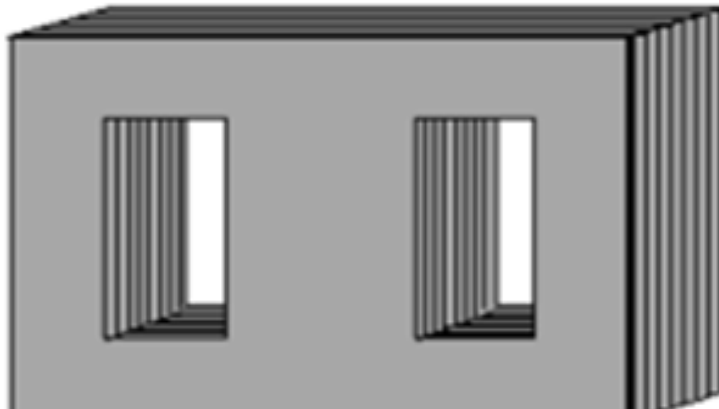


Figure 1.1 : Circuit magnétique d'un transformateur monophasé

- Vecteur champ et vecteur induction magnétique

Le vecteur induction magnétique est noté \vec{B} , son module (B) est exprimé en tesla[T]. La relation entre l'induction et le champ magnétique \vec{H} dépend du milieu :

- ❖ Dans le vide $\vec{B}_0 = \mu_0 * \vec{H}$ avec $\mu_0 = 4 * \pi * 10^{-7} [\text{H} * \text{m}^{-1}]$; μ_0 : Perméabilité de vide
- ❖ Dans une substance ferromagnétique : $\vec{B} = \mu * \vec{H}$; μ : Perméabilité du milieu de même unité que μ_0 . On pose $\mu = \mu_0 * \mu_r$ avec μ_r est la perméabilité relative du milieu. On vérifie que $\vec{B} = \mu_r * \vec{B}_0$

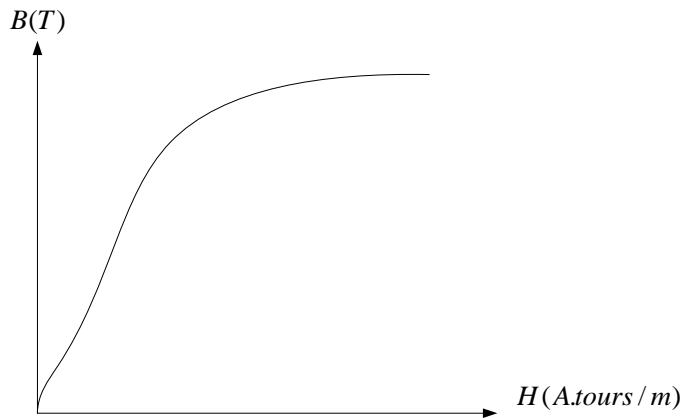


Figure 1.2 : Courbe d'aimantation

▪ Inductance propre

Par définition l'inductance propre L_1 d'une bobine de N_1 spires (représenté par la figure suivante) est donnée par la relation $L_1 = \frac{N_1 \cdot \phi_1}{I_1}$, elle est exprimée en Henry [H]

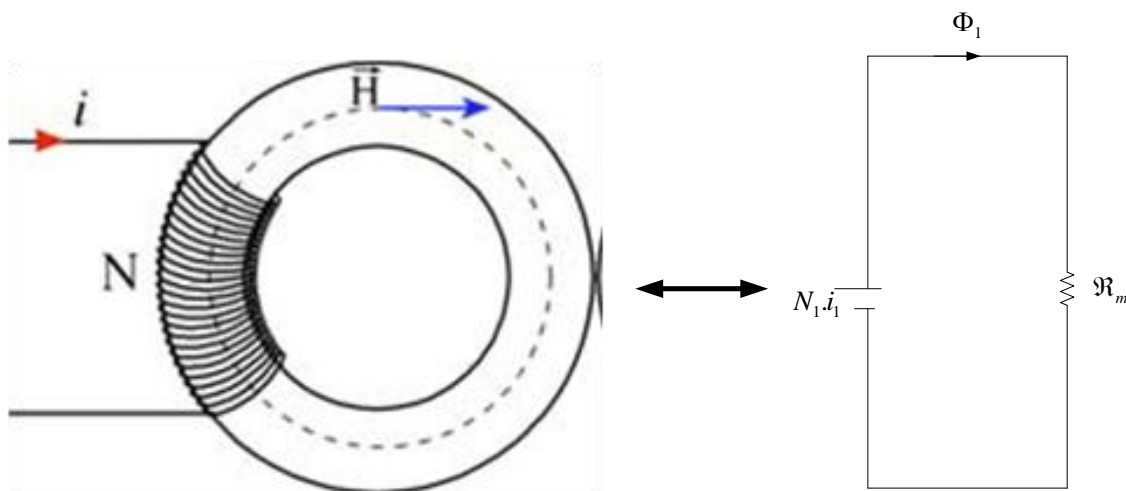


Figure 1.3 : Circuit magnétique équivalent

En appliquant la loi d'Ampère on aura $\phi_1 = \frac{N_1 \cdot I_1}{\mathfrak{R}_1}$ donc $L_1 = \frac{N_1^2}{\mathfrak{R}}$ avec \mathfrak{R} est la reluctance du circuit magnétique [H^{-1}].

1°.2- Représentation de Fresnel

- Pour toute grandeur sinusoïdale on associe un vecteur de Fresnel

Exemple à $i(t) = I * \sqrt{2} * \sin(\omega t + \varphi)$ on associe un vecteur \bar{i}

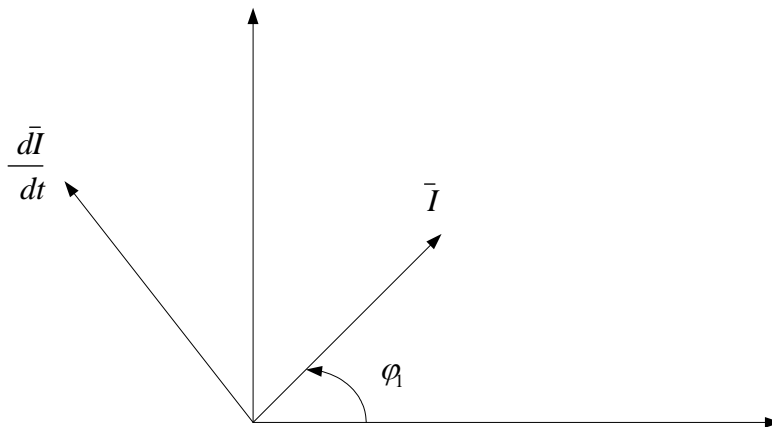


Figure 1.4 : Diagramme vectoriel

2°-Constitution

La bobine à noyau de fer est constitué essentiellement :

- D'un circuit magnétique formé d'un empilement de tôles magnétiques minces isolées entre elles par une couche de vernis
- D'une bobine de N spires

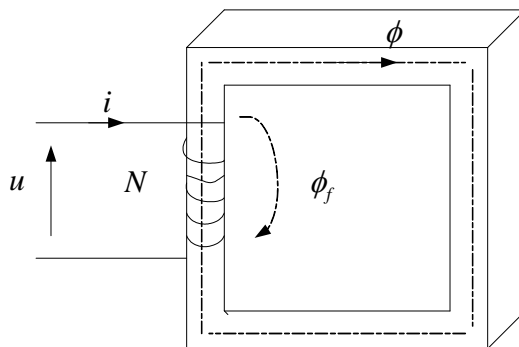


Figure 1.5 : Constitution

3°-Etude de fonctionnement

Si on alimente la bobine à noyau de fer par une tension $u(t) = U * \sqrt{2} * \cos(\omega t + \varphi)$, la force magnétomotrice $F = N * I$ engendre un flux $\varphi_1 = \varphi + \varphi_f$ avec :

- φ : flux dans le fer
- φ_f : flux de fuite(en grande partie passe par l'air)

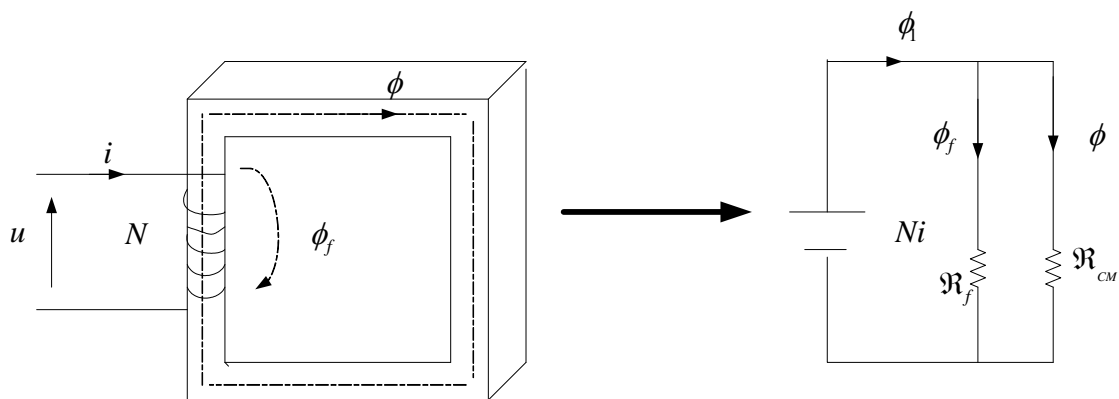


Figure 1.6: Circuit magnétique équivalent

Dans ces conditions l'inductance de fuite(l) est donnée par : $l = \frac{N * \phi_1}{i}$

Or d'après la loi d'Hopkison appliquée au schéma magnétique équivalent, on aura :

$N * i = \mathfrak{R}_f * \phi_f = \mathfrak{R}_{CM} * \phi$ Avec \mathfrak{R}_f : reluctance de fuites et \mathfrak{R}_{CM} : reluctance du circuit

$$\text{magnétique } l = \frac{N^2}{\mathfrak{R}_f} \quad (1)$$

3°1-Equations électriques

La loi des mailles appliquée au schéma électrique équivalent (voir ci dessous) donne :

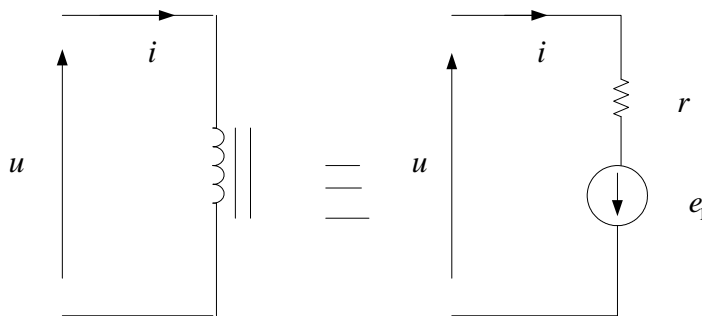


Figure 1.7: Circuit électrique équivalent

$$u + e_1 = r * i \quad \text{Avec } e_1 = -N * \frac{d\phi_1}{dt} = -N * \frac{d\phi}{dt} - N * \frac{d\phi_f}{dt} \quad (2)$$

D'après l'équation (1) $\Rightarrow N * \phi_f = l * i \Rightarrow N * d\phi_f = l * di$

L'équation (2) devient $e_1 = -N * \frac{d\phi}{dt} - l \frac{di}{dt}$

$$\text{Donc } u = N * \frac{d\phi}{dt} + l \frac{di}{dt} + r * i \quad (3)$$

$$\text{En écriture complexe } \bar{U} = j * N * w * \bar{\phi} + j * l * w \bar{I} + r * \bar{I} \quad (4)$$

3°2-Forme d'onde du courant absorbé

Hypothèse : on suppose que toutes les chutes de tension sont négligeables, on aura d'après

$$(3) \quad u = N * \frac{d\phi}{dt} \quad \Leftrightarrow \text{si } u(t) \text{ est sinusoïdale, } \phi(t) \text{ est aussi sinusoïdal mais il est en retard de } 90^\circ$$

.On sait que dans un circuit magnétique alimenté en alternatif $B=f(H)$ aura la forme d'un cycle d'hystérésis.

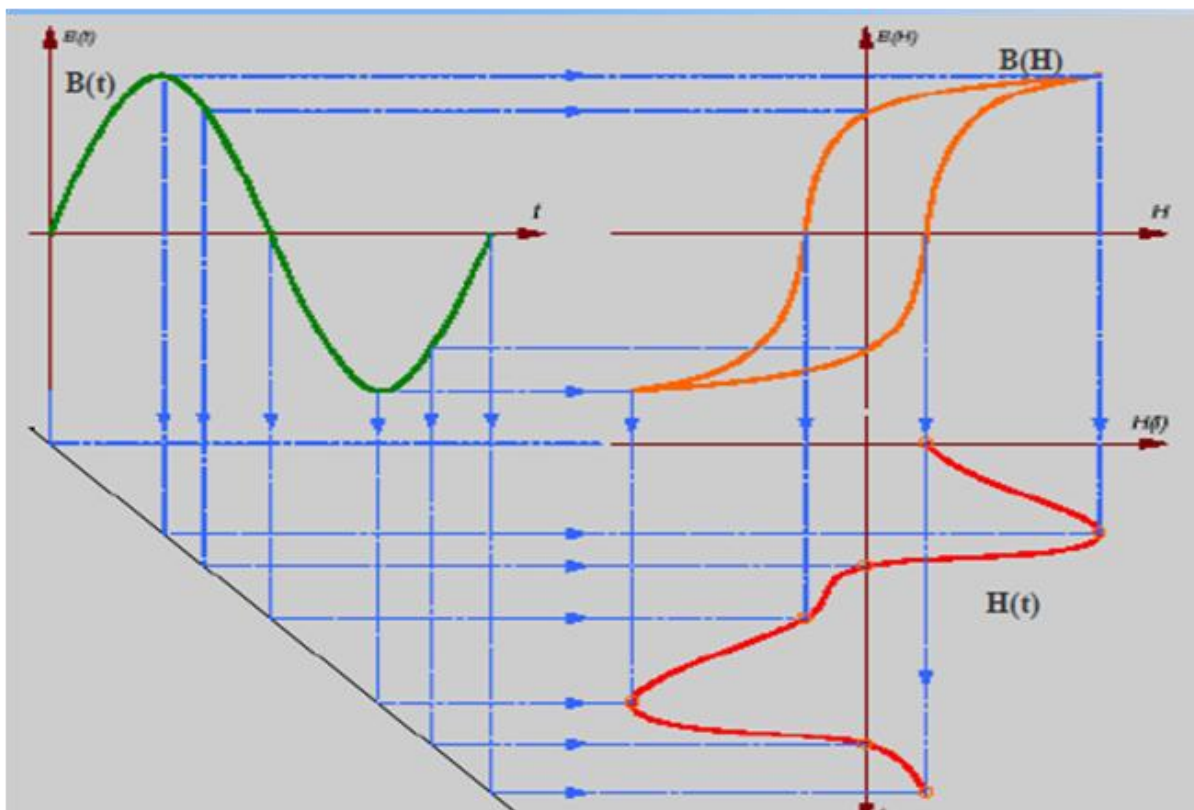


Figure 1.8 : Cycle d'hystérésis et allure de courant

On peut construire l'allure de $i(t)$ à partir de $b(t)$ de la manière suivante :

A un instant t_1 \longrightarrow b_1 \longrightarrow h_1 donc i_1 que l'on porte à la verticale de t_1 . on refait cette opération pour plusieurs points on aura $i_1(t)$

La chose qu'on peut constater rapidement que $i(t)$ n'est pas sinusoïdale à cause de la saturation et un peu décalé par rapport à l'induction \Rightarrow la puissance moyenne n'est pas nulle pour chaque cycle décrit.

3°.3-Pertes fer d'un circuit magnétique

La présence d'un circuit magnétique va entraîner des pertes supplémentaires. On note par P_f les pertes dans le fer d'un circuit magnétique. Ces pertes vont se traduire par un échauffement du circuit magnétique. Les pertes fer s'écrivent $P_f = P_H + P_{CF}$ (5) avec P_H : pertes par hystérésis et P_{CF} : pertes par courants de Foucault

3°.3.1-Pertes par hystérésis

L'énergie perdue par unité de volume W_H est proportionnelle à l'aire du cycle d'hystérésis. D'autre part, ces pertes magnétiques augmentent avec la fréquence et l'induction maximale B_{max} . Cette puissance est donnée par l'expression empirique (formule de Richter) suivante : $P_H = a * V * f * B_{max}^2 + b * V * f * B_{max} + k * V * f^2 * B_{max}^2$ (6) avec : V : volume du matériau, f : fréquence et a, b et k sont des coefficients Donnés.

✓ Remarque :

Pour réduire les pertes par Hystérésis on doit choisir toles qui ont des cycles étroits (tôles au silicium).

3°.3.2-Pertes par courants de Foucault

Les courants de Foucault sont des courants induits dans les masses métalliques du circuit magnétique. Pour une induction périodique $b(t)$ ces pertes peuvent être traduites par la formule suivante : $P_{CF} = K * V * f^2 * B_{max}^2$ (7) avec K : coefficient donné

Pour réduire les pertes par courant de Foucault on doit feuilletter les tôles et les isoler les unes des autres.

3°.3.3-Pertes totales

En réalité, pour estimer les pertes dans le fer P_F , les fabricants des tôles fournissent la courbe de qualité pour chaque tôle.

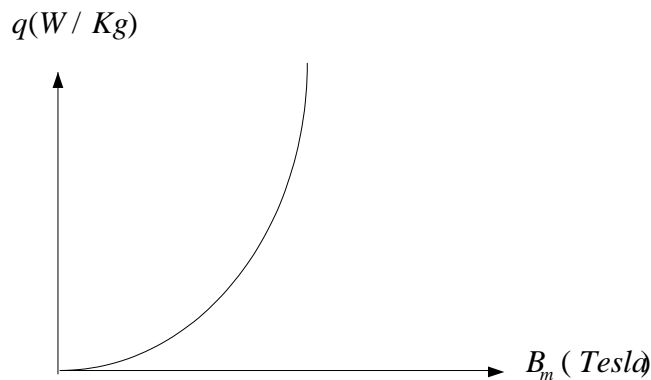


Figure 1.10: Courbe des qualités

$$P_F = q * M \quad (8) \quad \text{avec } M : \text{masse du circuit magnétique et } q : \text{facteur de qualité}$$

✓ Remarque :

D'après l'équation (8) et pour M donnée on aura $P_F \cong B_{\max}^2$ et on démontre par la suite que $B_{\max} \cong U$ (tension efficace aux bornes de la bobine) $\Rightarrow P_F \cong U^2$ (9)

3°.4-Relation de Boucherot

D'après l'équation (3) on a $u_1(t) = N_1 * \frac{d\phi}{dt}$, la tension $u_1(t)$ est sinusoïdale (elle est imposée par le réseau) soit $u_1(t) = U_1 * \sqrt{2} * \sin(\omega t)$ on aura donc : $\frac{d\phi}{dt} = \frac{U_1}{N_1} * \sin(\omega t) \Rightarrow$

$\phi(t) = \frac{U_1 * \sqrt{2}}{N_1 * \omega} * \sin(\omega t - \pi/2) = \phi_{\max} * \sin(\omega t - \frac{\pi}{2})$ Sachant que $\phi_{\max} = B_{\max} * S$ (S :section droite du circuit magnétique)

$$\text{On aura } U_1 = 4.44 * N_1 * f * B_{\max} * S \quad (10)$$

L'équation (10) est appelée : Relation de Boucherot

La relation (10) permet de calculer le nombre de spires.

L'induction maximale dépend de la valeur efficace de la tension.

3°.5-Schéma équivalent et diagramme vectoriel

Le modèle équivalent de la figure suivante traduit le fonctionnement électrique et énergétique de la bobine à noyau de fer

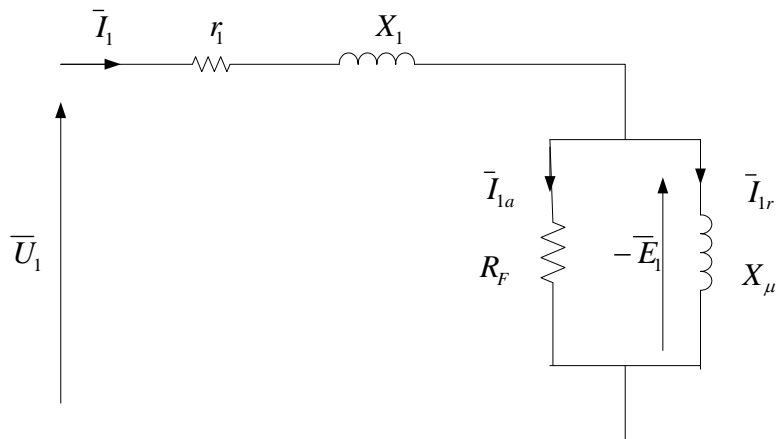


Figure 1.11: Schéma équivalent

Ou :

- r_1 : résistance de la bobine

$X_1 = l_1 * w$: réactance de fuites de la bobine

- X_μ : réactance magnétisante

- R_μ : Résistance fictive traduisant les pertes fer

D'autre part on peut calculer X_μ et R_μ

$$P_F = P_{10} - r_1 * I_{10}^2 \approx R_\mu * I_{10a}^2 \Leftrightarrow R_\mu = \frac{P_F}{I_{10a}^2} \approx \frac{U_1^2}{P_F} \quad (11)$$

$$X_\mu = \frac{E_1}{I_{10r}} \approx \frac{U_1^2}{Q_F} \quad (12)$$

En appliquant la loi des mailles au schéma équivalent. On retrouve bien la relation (4)

$$\bar{U}_1 = j * N_1 * w * \bar{\phi} + j * l * w * \bar{I} + r * \bar{I} \text{ Avec } \bar{E}_1 = -j * N_1 * w * \bar{\phi}$$

Le diagramme vectoriel suivant est une traduction de la relation (4).

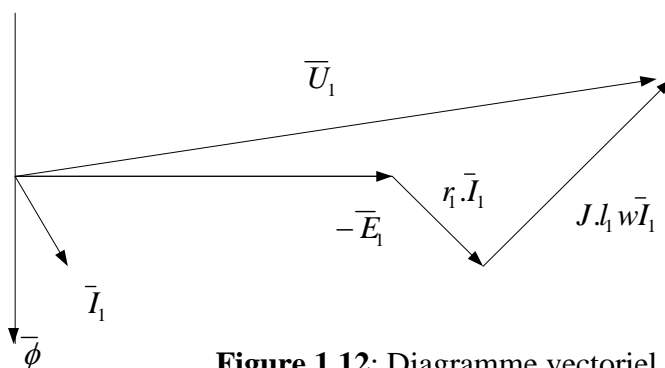


Figure 1.12: Diagramme vectoriel